



فصلنامه رسوب و سنگ رسوبی

سال دوم - شماره پنجم - تابستان ۱۳۸۸ | صفحه (۱۲-۱)

Journal of Sediment and Sedimentary Rock

تحلیل رخساره‌ها و محیط رسوبی سازند گدوان در تاقدیس کوزه‌کوه، شمال خاوری نورآباد

داود جهانی^۱، فاطمه پیمان^۲ و امیرمحمد جمالی^۳

- ۱- عضو هیات علمی گروه زمین‌شناسی دانشگاه آزاد اسلامی واحد تهران شمال.
۲- دانشجوی کارشناسی ارشد رسوب‌شناسی و سنگ‌شناسی رسوبی دانشگاه آزاد اسلامی واحد تهران شمال.
۳- گروه زمین‌شناسی دانشگاه آزاد اسلامی واحد محلات، دانشجوی دکتری چینه‌شناسی و فسیل‌شناسی دانشگاه شهید بهشتی.

پنجه‌ده :

سازند گدوان به سن بارمین‌پسین-آپتین‌پیشین در برش چینه‌شناسی کوزه‌کوه از سه بخش تشکیل شده است. این بخش‌ها در برگیرنده گدوان بالایی (شیل و مارن با میان لایه‌های نازک سنگ آهک)، سنگ آهک خلیج و گدوان بالایی (شیل و مارن با میان لایه‌های نازک سنگ آهک) است. ستبرای این سازند در ناحیه مورد بررسی ۵۸ متر است. سازند گدوان با ناپیوستگی بر روی سازند فهیلان و به صورت هم‌شیب و تدریجی در زیر سازند داریان قرار دارد. بررسی‌های صحرایی و میکروسکوپی بخش‌های گدوان زیرین و بالایی نشان می‌دهد که این بخش‌ها در بردارنده رخساره‌های دارای فسیل‌های بتیک مریبوط به نواحی کم‌ژرفای دریای باز، شیل و مارن‌های دارای فرامینیفرهای پلانکتونی و رخساره‌های توربیدیتی نواحی ژرفتر دریا هستند. رخساره‌های موجود در سنگ آهک‌های تودهای بخش خلیج نشان دهنده رسوب‌گذاری این رخساره‌ها در محیط‌های تالاب و دریای باز کم عمق است. رخساره‌های سازند گدوان در یک پلت فرم کربناته از نوع شلف نهشته شده‌اند. مقایسه منحنی تغییرات نسبی ژرفای رخساره‌های مورد مطالعه با منحنی جهانی تغییرات سطح آب دریا نشان می‌دهد که تغییرات رخساره‌ای نهشته‌های سازند گدوان در ناحیه مورد بررسی با این منحنی و به ویژه منحنی ارائه شده برای پلت فرم عربی هم‌خوانی دارد.

واژه‌های کلیدی: سازند گدوان، بخش خلیج، شلف، محیط رسوبی، رخساره.

Facies analysis and sedimentary environment of the Gadvan Formation in the Kuzeh Kuh Anticline, Northeast of Nurabad

Abstract

Gadvan Formation (Late Barremian to Early Aptian) consists of three members in Kuzeh Kuh section. These members include Lower Gadvan (shale and marl with thin limestone), Khalij limestone and Upper Gadvan (shale and marl with thin limestone). Gadvan Formation is 58 meters thick at Kuzeh Kuh section. Gadvan Formation is unconformably overlain by Fahlian Formation and conformably overlain by Darian Formation. Field and microscopic investigations of Lower and Upper Gadvan show that these members include shallow open marine benthic foraminifera, shale and marls with planktonic foraminifera and turbidite related to deeper part of this basin. Massive limestone facies of Khalij Member show that these sediments were deposited in lagoon and shallow marine environments. Gadvan Formation sediments were deposited in a carbonate shelf platform. The comparison of relative change curve of the studied facies with global sea level change shows that Gadvan Formation facies changing in investigated area corresponds to Arabian platform pattern.

Keywords: Gadvan Formation, Khalij section, shelf, sedimentary environment, facies

۱- مقدمه:

نظر مخزنی حائز اهمیت است، شناسایی چگونگی گسترش، تغییرات رخساره‌ای، وضعیت افزایش و یا کاهش ویژگی‌های مخزنی این بخش در خاور این گسل و در ناحیه فارس دارای اهمیت زیادی است. از سویی دیگر بخش‌های شیلی- مارنی زیرین (گدوان‌زیرین) و شیلی- مارنی بالایی (گدوان بالایی) این سازند می‌توانند از سنگ‌های منشا و پوشش مناسب محسوب شوند.

برای بررسی محیط رسوبی و ارائه مدل رسوبی سازند گدوان، یک برش چینه‌شناسی در تاقدیس کوزه‌کوه انتخاب و مطالعه شده است. تاقدیس کوزه‌کوه در ۱۵۸ کیلومتری شمال باختی شیراز در شمال خاوری نورآباد ممتد واقع شده است. این برش در تنگی دوپر در شمال روستای گاوپیازی آب‌پیخان برداشت شده است (شکل ۱).

۲- روش کار:

نهشته‌های سازند گدوان بر اساس برداشت زمین‌شناسی، تشخیص الگوهای لایه‌بندی، بررسی تغییرات عمودی و جانی رخساره‌ها در روی زمین و مطالعه میکروسکوپی تعداد ۶۴ مقطع نازک مورد بررسی قرار گرفته است. سنگ‌های کربناته به روش دانهام (Dunham, 1962) نام‌گذاری شده است. طبقه‌بندی رخساره‌ها و ارائه مدل رسوبی به روش کاروزی (Carozzi, 1989)، لاسمی و کاروزی (Lasemi and Carozzi, 1981) و فلوگل (Flügel, 1982, 2004) انجام شده است. با تلفیق نتایج حاصل از مطالعات صحرایی و آزمایشگاهی، در نظر گرفتن قانون والتر (Walther's law in Middleton, 1973) و مقایسه شواهد به دست آمده با محیط‌های رسوبی امروزی، مدل رسوبی پیشنهاد شده است.

۳- پیوند شناسی:

سازند گدوان در منطقه مورد بررسی به سه بخش شیلی- مارنی زیرین (گدوان‌زیرین)، سنگ آهک خلیج و بخش شیلی- مارنی بالایی (گدوان بالایی) تقسیم می‌شود (شکل ۲). بررسی‌های زمین‌شناسی انجام شده نشان می‌دهد که این سازند در منطقه مورد مطالعه به صورت هم‌شیب و با وقفه رسوبی کم‌اهمیت بر روی سازند فهیان قرار دارد. مرز بالایی این سازند با سازند داریان نیز به صورت هم‌شیب و تدریجی است. سازند گدوان در ناحیه مورد

سازند گدوان به سن بارمین‌پسین- آپتین‌پیشین به طور عمده در برگیرنده شیل و مارن‌های خاکستری تا سبز رنگ است که در آن میان لایه‌هایی از سنگ آهک و سنگ آهک‌های آرژیلی به رنگ قهوه‌ای و خاکستری مایل به سبز دیده می‌شود. برش الگوی این سازند در ۴۰ کیلومتری شمال خاور شیراز قرار داشته، دارای ستبرای در حدود ۱۲۰ متر است (James and Wynd, 1965).

سازند گدوان در بین دو واحد کربناته صخره‌ساز فهیان در زیر و داریان در بالا جای دارد. این سازند در بررسی‌های صحرایی به صورت یک واحد سنگ چینه‌ای هوازده با پوشش واریزه‌ای در بین سازندهای یاد شده دیده می‌شود. در بخش میانی این سازند یک واحد سنگ آهکی توده‌ای بر جسته به نام بخش خلیج وجود دارد.

ولز (Wells, 1965) و خردپیر (Kheradpir, 1975) در

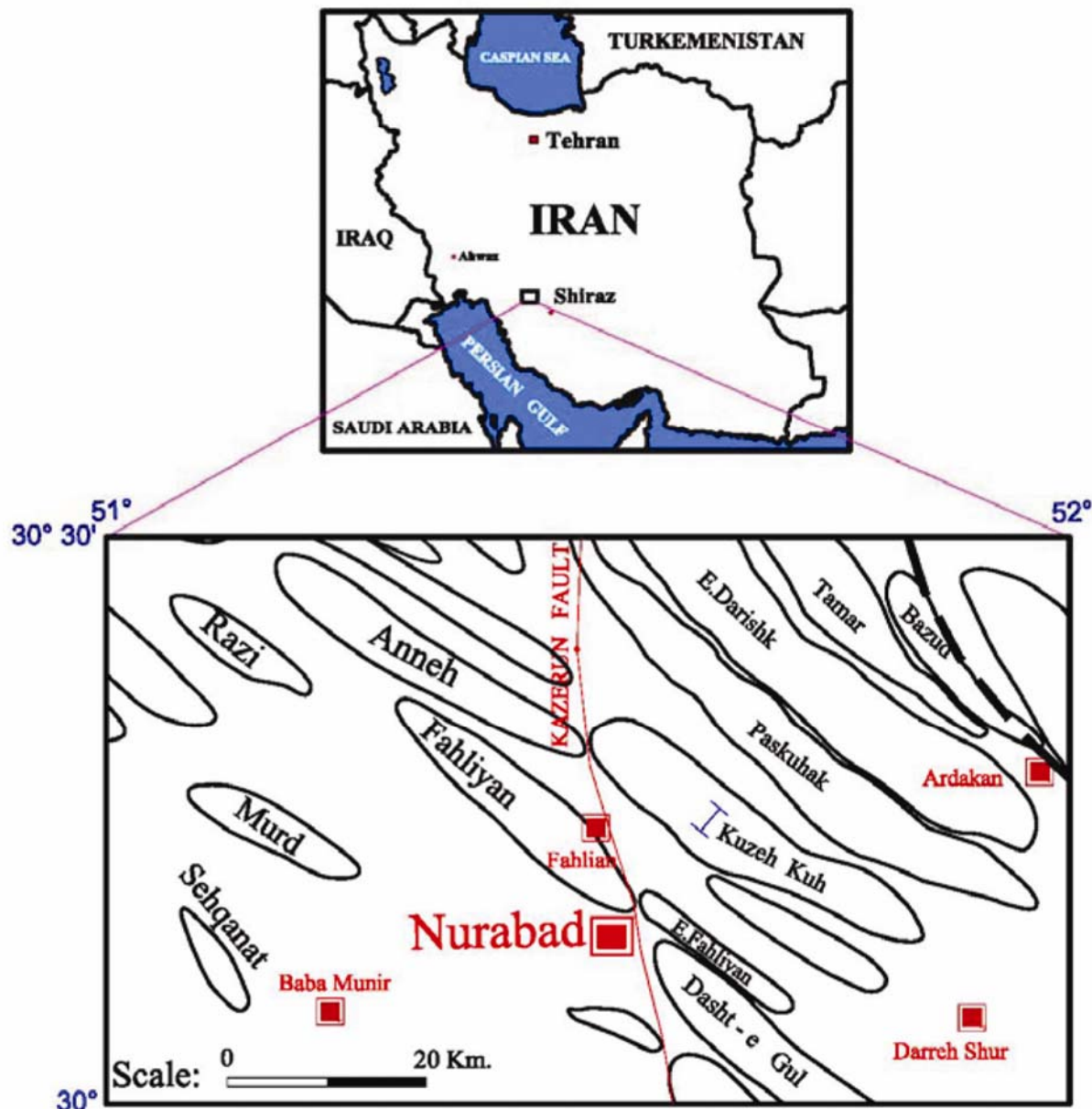
بررسی‌های خود به یک واحد سنگ آهکی تمیز و بدون ترکیبات رسی در بین دو واحد شیلی- مارنی سازند گدوان اشاره می‌کنند که به آسانی در مطالعه و تفسیر لایه‌های ژئوفیزیکی و هم چنین در روی زمین قابل تشخیص است.

پیریانی و همکاران (۱۳۸۳) چینه‌نگاری سکانسی نهشته‌های خامی‌بالایی (کرتاسه زیرین) در قسمتی از ناحیه دزفول‌جنوبی و جنوب‌شرق زون ایذه را مورد بررسی قرار دادند. بر پایه این بررسی‌ها، محیط رسوبی سازند گدوان دریای باز و تالاب تعیین شده است. سیاهی (۱۳۸۵) رخساره‌ها، محیط رسوبی و چینه‌نگاری سکانسی سازندهای گدوان و داریان را در بخش جنوبی فروافتادگی دزفول و زون ایذه بررسی نمود. سازند گدوان بر پایه این بررسی‌ها در دو کمربند رخساره‌ای دریای باز کم‌زرفا و ژرف نهشته شده است. احمدی (۱۳۸۶) رخساره‌ها، محیط رسوبی و چینه‌نگاری سکانسی سازندهای گدوان و داریان را در بخش شمالی فروافتادگی دزفول و زون ایذه (تاقدیس اشگر) مورد بررسی قرار داد. بر پایه این بررسی‌ها سازند گدوان در برگیرنده رخساره‌های مربوط به بخش ژرف دریا است که در بخش دور از پلتفرم نوع شلف رسوب‌گذاری نموده است.

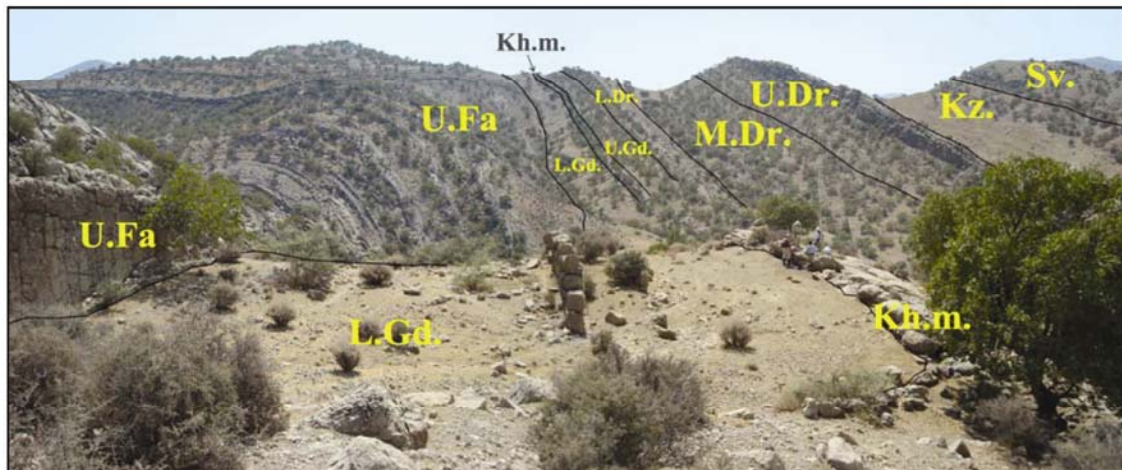
با توجه به این که بخش خلیج در برخی از تاقدیس‌ها به ویژه تاقدیس‌های بخش باختی گسل کازرون در فروافتادگی دزفول از

تمیل رخساره‌ها و محیط زیوبی سازند گدوان...

بررسی ۵۸ متر ستبرای دارد. ستبرای بخش گدوان زیرین $\frac{2}{3}$ متر، بخش گدوان بالای نیز از شیل، مارن و سنگ آهک‌های آرژیلی نازک تا متوسط لایه فسیل‌دار به رنگ خاکستری مایل به سبز تشکیل شده است (شکل ۳: A). دو بخش یاد شده دارای رخساره‌های بتیک و خاکستری مایل به سبز تشکیل شده است (شکل ۳: C-B). در این واحد فسیل خارپستان و انواع دوکه‌ای‌ها به ویژه آگروژیرا پلانکتونی به صورت بین‌لایه‌ای و یا همراه با هم هستند.



شکل ۱: موقعیت جغرافیایی برش کوزه کوه.



شکل ۲: توالی بخش های فهیلان بالایی (U.Fa)، گدوان زیرین (L.Gd.)، خلیج (Kh.m.)، گدوان بالایی (U.Gd.)، داریان زیرین (L.Dr.)، داریان میانی (M.Dr.)، داریان بالایی (U.Dr.)، سازند کزدمی (Kz.) و سازند سروک (Sv.) در تاقدیس کوزه کوه. نگاه به سمت شمال خاور - خاور.

بخش سنگ آهک خلیج در قسمت میانی سازند گدوان به صورت نودول های اکسید آهن مشخص است. از میکروفسیل های شاخص یک واحد توده ای برجسته مشاهده می شود (شکل ۳: E). ستبرای بخش خلیج می توان به *Dictyoconus arabicus* اشاره نمود. این بخش در نواحی مختلف حدود ۱۰ تا ۱۸ متر است. این واحد در سنگ آهک های توده ای بخش خلیج، فسیل مرجان و آثار توده ای با رنگ کرم مایل به نخودی تا قهوه ای کمرنگ و همچنین فسیلی نیز به طور محلی مشاهده شده است (شکل ۳: F-G).



شکل ۳: (A) توالی بخش های خلیج (Kh.m.)، گدوان بالایی (U.Gd.) و داریان زیرین (L.Dr.). نگاه به سمت جنوب باخترا- باخترا. (B) و (C) مارن های خاکستری تا سبز با میان لایه های سنگ آهک فسیل دار در بخش گدوان زیرین.



(D) فسیل‌های اکتروژیرا در مارن‌های بخش گدوان زیرین. (E) سنگ آهک‌های توده‌ای بخش خلیج. نگاه به سمت جنوب باخترا. (F) فسیل مرجان در بخش خلیج. (G) آثار فسیلی با آغشته‌گی به اکسید آهن در بخش خلیج.

۱۴- (رخساره‌ها و محیط‌های رسوبی):

میکریتی به صورت متصل قرار دارند. بافت پکستونی و نوع آلوکم‌ها

بررسی‌های میکروسکوپی نهشته‌های سازند گدوان نشان می‌دهند که نهشته‌های این سازند در دو کمریند رخساره‌ای تالاب (A) و

Roxasare A2 (Bioclast Wackestone)

این رخساره دارای اریتولینا، دوکه‌ای، جلبک سبز از نوع این رخساره دارای اریتولینا، دوکه‌ای، جلبک سبز از نوع *Salpingoporella dinarica* (شکل ۵: A)، سوزن اسفنج و به مقدار کم میلیولید و استراکود است (شکل ۴: B). بافت

نبوذ شواهد رخساره‌های مربوط به سد/پشتله‌های زیردریایی در روی زمین و همچنین مطالعات میکروسکوپی می‌تواند ناشی از محدود بودن و یا عدم گسترش جانبی سد در ناحیه مورد مطالعه باشد.

Flügel, 2004؛ Tucker and Wright, 1990؛

رخساره دیده می‌شود. این رخساره از دو زیر رخساره A2-1 و

کوارتز اتنی زن نیز در این

رخساره A2-2 به شرح زیر تشکیل شده است.

Zirroxasare A2-1 (Orbitolina Wackestone)

در این رخساره دانه‌های پلوئید و اریتولینا (Orbitolina) بخش دانه‌های اسکلتی اصلی در این رخساره اریتولینا بوده که در زمینه‌ای میکریتی به صورت شناور قرار دارند. از آلوکم‌های دیگر این رخساره می‌توان به خارپوست، دوکه‌ای، پلوئید و گاستروپود و به مقدار ناقیز سوزن اسفنج و استراکود اشاره نمود (شکل ۴: C).

دریای باز (B) به شرح زیر رسوب گذاری کرداند. در برش مورد مطالعه رخساره سدی/پشتله‌های زیردریایی مشاهده نشده است.

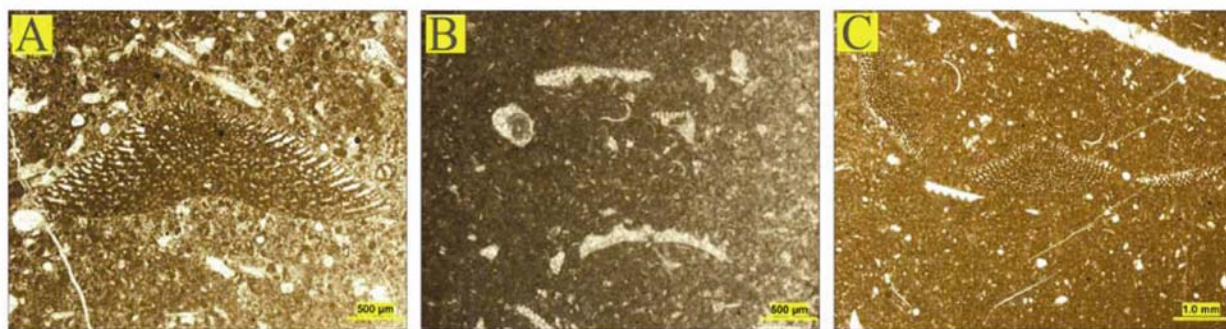
نبود شواهد رخساره‌های مربوط به سد/پشتله‌های زیردریایی در روی زمین و همچنین مطالعات میکروسکوپی می‌تواند ناشی از محدود بودن و یا عدم گسترش جانبی سد در ناحیه مورد مطالعه باشد.

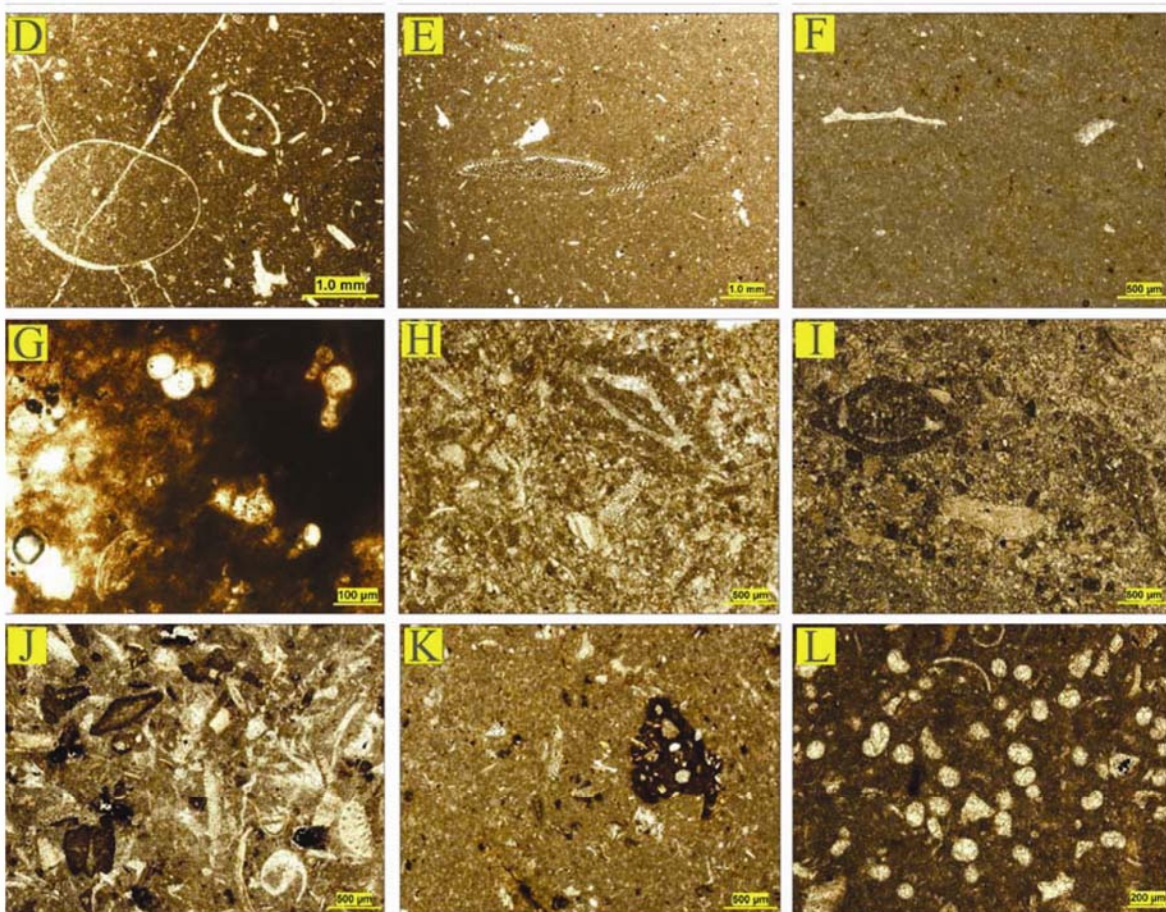
۴- کمریند رخساره‌ای A (تالاب):

این کمریند رخساره‌ای در برگیرنده دو رخساره A1 و A2 به شرح زیر است:

Roxasare A1 (Orbitolina Peloid Packstone)

در این رخساره دانه‌های پلوئید و اریتولینا (Orbitolina) بخش قابل توجهی از آلوکم را تشکیل می‌دهند (شکل ۴: A). دوکه‌ای، خارپوست، جلبک‌های سبز، استراکود و فرامینیفرهای بنتیک شامل دیکتیوکونوس (شکل ۵: C)، سودوساکالهینا (*Pseudocyclammina*) و تکستولاپریده در این رخساره مشاهده می‌شود. آلوکم‌ها در زمینه‌ای





.Orbitolina Wackestone (C) . Bioclast Wackestone (B) , Orbitolina Peloid Packstone (A) :
 .Bioclast Mudstone (F) .Orbitolina Wackestone (E) .Bivalve Wackestone (D)
 .Bioclast Packstone (H) .Planktonic Foraminifera Wackestone (G)
 Benthic Foraminifera Echinoid Packstone(J).Peloid Echinoid Benthic Foraminifera Packstone (I)
 . Sponge Spicule Wackestone (L).Bioclast Wackestone (K)

رخساره (Orbitolina Bioclast Wackestone) B1

دانه‌های اصلی در این رخساره اربیتولینا است (شکل ۴: E). در این رخساره استراکود، سوزن اسفنج و اکینوئید مشاهده می‌شود. اربیتولیناهای موجود در این رخساره عموماً صفحه‌ای شکل و پهن هستند.

زیررخساره (Bivalve Wackestone) A2-2

در این رخساره دانه‌های اصلی دوکفه‌ای‌ها هستند، علاوه بر این به مقدار کمتر گاستروپودها، فرامینیفرهای بتیک (به ویژه شوفاتلا)، خارپوست و به مقدار ناچیز سوزن اسفنج نیز مشاهده می‌شود. (شکل ۴: D).

رخساره (Bioclast Mudstone) B2

این رخساره دربرگیرنده مقدار ناچیزی دانه‌های اسکلتی شامل دوکفه‌ای از نوع اگزوژیر، خارپوست، برآکیپود، سوزن اسفنج و گاهی گاستروپود و استراکود است که در یک زمینه میکریتی به

۴-۲- کمربند رخساره‌ای B (دریای باز):

این کمربند رخساره‌ای دربرگیرنده پنج رخساره B1 تا B5 به شرح زیر است. این رخساره‌ها در محیط‌های دریایی باز کم‌زرفا و دریایی باز ژرف نهشته شده‌اند.

تمیل رخساره ها و محیط رسوبی سازند گدوان...

زیررخساره 2 (Peloid Echinoid Benthic Foraminifera Packstone) B5-2: در این رخساره دانه های اسکلتی اصلی از فرامینیفرهای بتیک (به ویژه شوفاتلا)، خرده های اکینوئید، اگزوژیرا و دانه های غیراسکلتی پلوئید تشکیل شده است که در زمینه ای از میکریت قرار گرفته اند. عناصر فرعی این رخساره براکیوپود و استراکود است. بیوکلست های بسیار ریز نیز در این رخساره به مقدار فراوان مشاهده می شود. در برخی از مقاطع، زمینه میکریتی در اثر نشومرفیسم به میکرو سپاریت تبدیل شده است. با توجه به ویژگی های بافتی و نیز جایگاه این رخساره در توالی چینه ای، محیط رسوب گذاری این رخساره بخش های کم ژرفای دریای باز است (شکل 4: I).

زیررخساره 3 (Benthic Foraminifera Echinoid Packstone) B5-3: این رخساره دارای عناصر اسکلتی شامل اکینوئید، فرامینیفرهای بتیک (به ویژه شوفاتلا) و دوکفه ای به ویژه اگزوژیرا و به مقدار کمتر پلوئید و براکیوپود است (شکل 4: J). در برخی از مقاطع آثار به هم خوردگی زیستی و شواهد توربیدیت مشاهده می شود.

زیررخساره 4 (Bioclast Wackestone) B5-4:

این رخساره دارای فرامینیفرهای بتیک (به ویژه شوفاتلا)، اکینوئدرم، دوکفه ای اگزوژیرا و به مقدار کمتر استراکود، گاستروپود، براکیوپود، سرپولید و سوزن اسفنج و همچنین بیوکلست های بسیار ریز است. در این رخساره آشفتگی زیستی و در برخی از مقاطع شواهد توربیدیت نیز مشاهده می شود. در برخی از مقاطع در حدود ۱۰ تا ۱۵٪ دانه های کوارتز زاویه دار در اندازه سیلت مشاهده می شود (Silty Bioclast Wackestone). این رخساره در بخش های گدوان زیرین و بالایی وجود دارد (شکل 4: K).

زیررخساره 5 (Sponge Spicule Bioclast Wackestone) B5-5:

در این رخساره سوزن اسفنج بخش قابل توجهی از آلوکم را شامل می شود. دوکفه ای، گاستروپود، اکینوئید، براکیوپود، فرامینیفرهای بتیک و به مقدار ناجیز فرامینیفرهای پلانکتونی عناصر فرعی را تشکیل می دهند. با توجه به زمینه میکریتی، وجود بافتی نامترکم و گل پشتیبان و اندازه دانه های اسکلتی، این رخساره در محیط ژرفتر و در بخش پایینی دریای باز نهشته شده است (شکل 4: L). در برخی مقاطع مقدار دوکفه ای زیاد شده و رخساره

صورت پراکنده و شناور قرار دارند. وجود بافت شناور و گل پشتیبان مادستونی، کاسته شدن از تعداد و اندازه دانه های اسکلتی نشان می دهد که این رخساره در محیطی آرام و در بخش پائینی دریای باز کم ژرف نهشته شده است (شکل 4: F). در برخی از مقاطع، فرآیند دولومیتی شدن به صورت بخشی مشاهده می شود. این رخساره در بخش های گدوان زیرین و بالایی وجود دارد.

رخساره B3 (Planktonic Foraminifera Wackestone):

در این رخساره فرامینیفرهای پلانکتونی به ویژه هدبگلا (Globigerinelloides) و گلوبی ژرینلوئیدس (Hedbergella) در زمینه ای میکریتی به صورت شناور قرار دارند. این رخساره در شیل ها و مارن های خاکستری تا سبز هوازده و پوشیده گدوان زیرین و بالایی مشاهده می شود و نشان دهنده رسوب گذاری در مناطق ژرف دریای باز است (شکل 4: G).

رخساره B4 (Shale):

قسمت قابل توجهی از بخش های گدوان زیرین و بالایی از شیل و مارن تشکیل شده است. وجود فرامینیفرهای پلانکتونی و جایگاه این رخساره در ستون چینه شناسی نشان می دهد که رخساره شیل در محیط آرام و ژرف دریای باز نهشته شده است.

رخساره B5 (Calciturbidite):

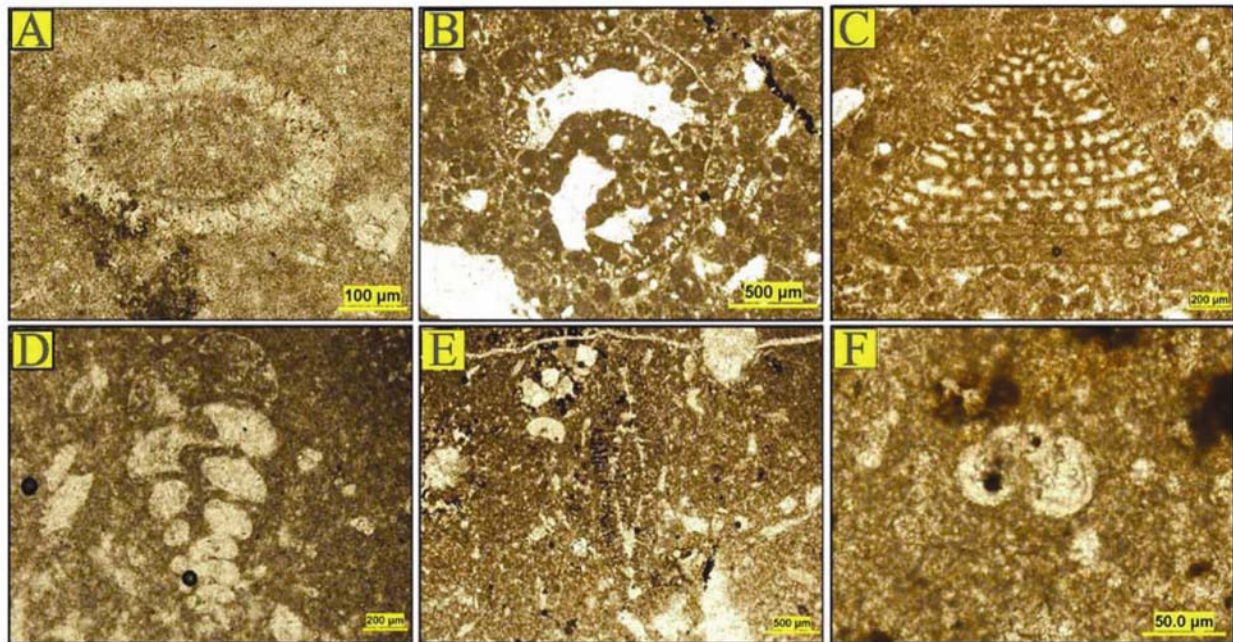
در این رخساره شواهد توربیدیت به ویژه همراه بودن فسیل های بتیک و پلانکتونی، دانه بندی تدریجی و ایمبریکاسیون مشاهده می شود. این رخساره در برگیرنده پنج زیررخساره به شرح زیر است:

زیررخساره 5-1 (Bioclast Packstone) B5-1:

دانه های اسکلتی در این رخساره فرامینیفرهای بتیک، خارپوست، دوکفه ای، سرپولید و به مقدار کمتر پلوئید و براکیوپود است. فرامینیفرهای پلانکتونی در این رخساره به مقدار بسیار ناچیز دیده می شود. در این رخساره دانه بندی تدریجی و ایمبریکاسیون نیز مشاهده می شود. این رخساره متعلق به مناطق کم ژرفای دریای باز است. آغشتگی به اکسید آهن در برخی از مقاطع مشاهده می شود (شکل 4: H). برخی از مقاطع دولومیتی شده هستند. در برخی از بیوکلست ها آثار بورینگ مشاهده می شود.

این رخساره در بخش گدوان بالایی دیده می‌شود.

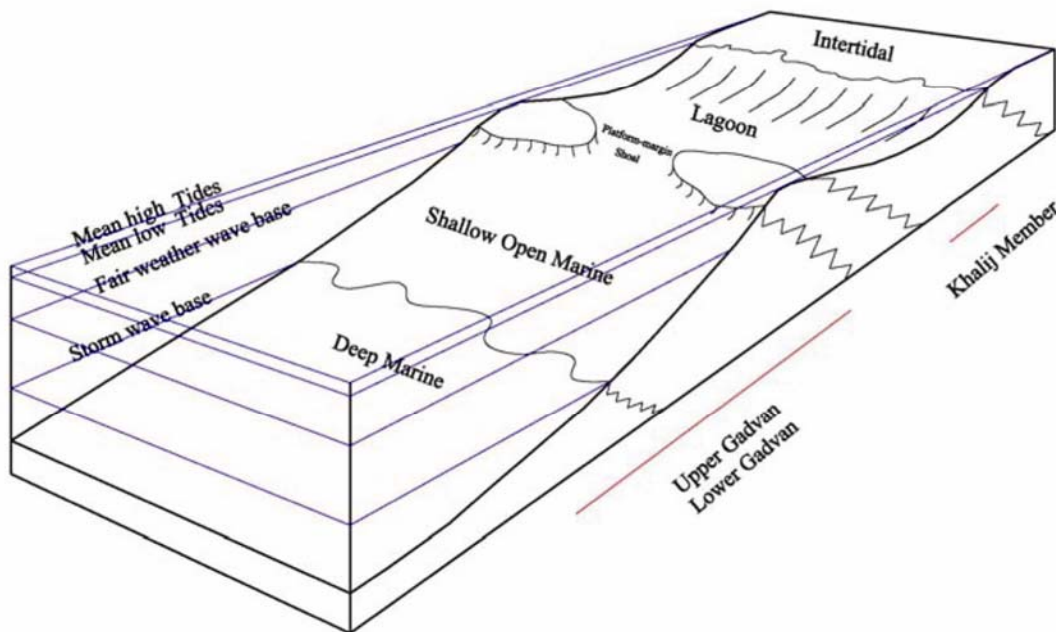
به صورت Bivalve Sponge Spicule Wackestone مشاهده می‌شود. دوکفه‌ای‌ها بیشتر از نوع اگزوژیرا هستند.



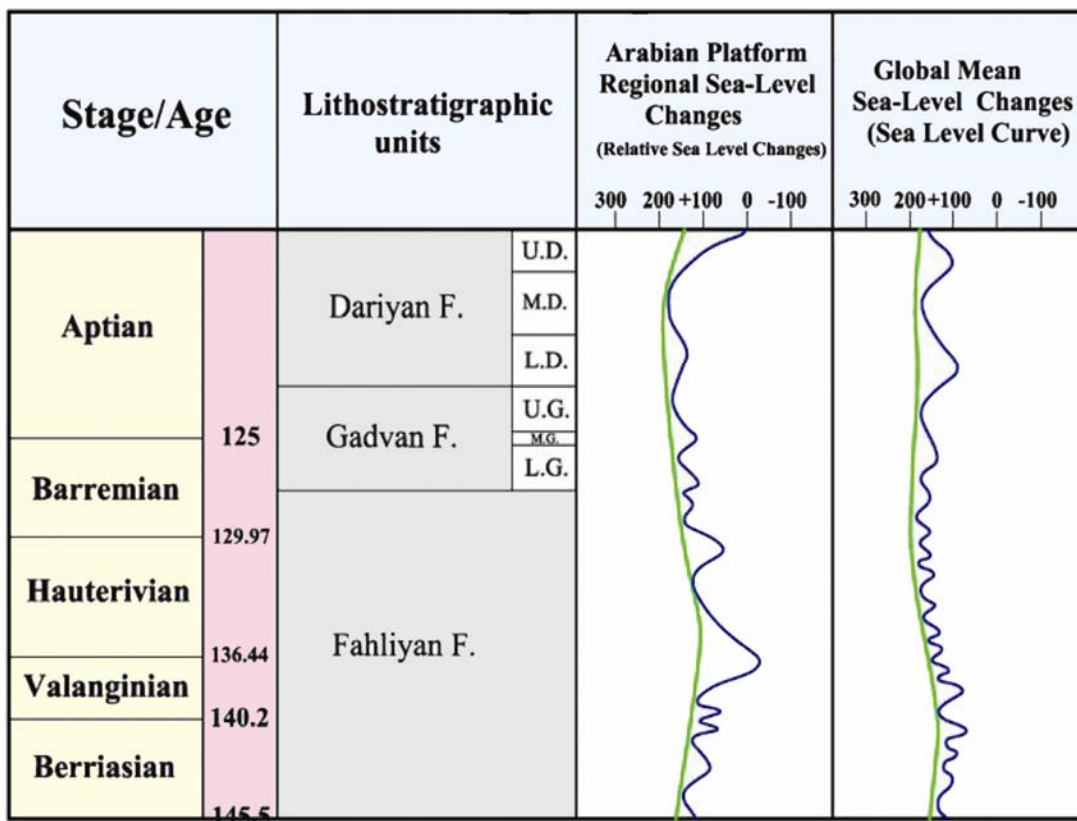
شکل ۵: (A) *Everticyclammina hedbergi* (بخش خلیج)، (B) *Salpingoporella dinarica* (بخش خلیج)، (C) *Praechrysalidina cf. infracretacea* (D) *Paleodicyctoconus arabicus* (بخش خلیج)، (E) *Hedbergella cf. infracretacea* (F) *Choffatella decipiens* (بخش گدوان زیرین).

۵- بهت:

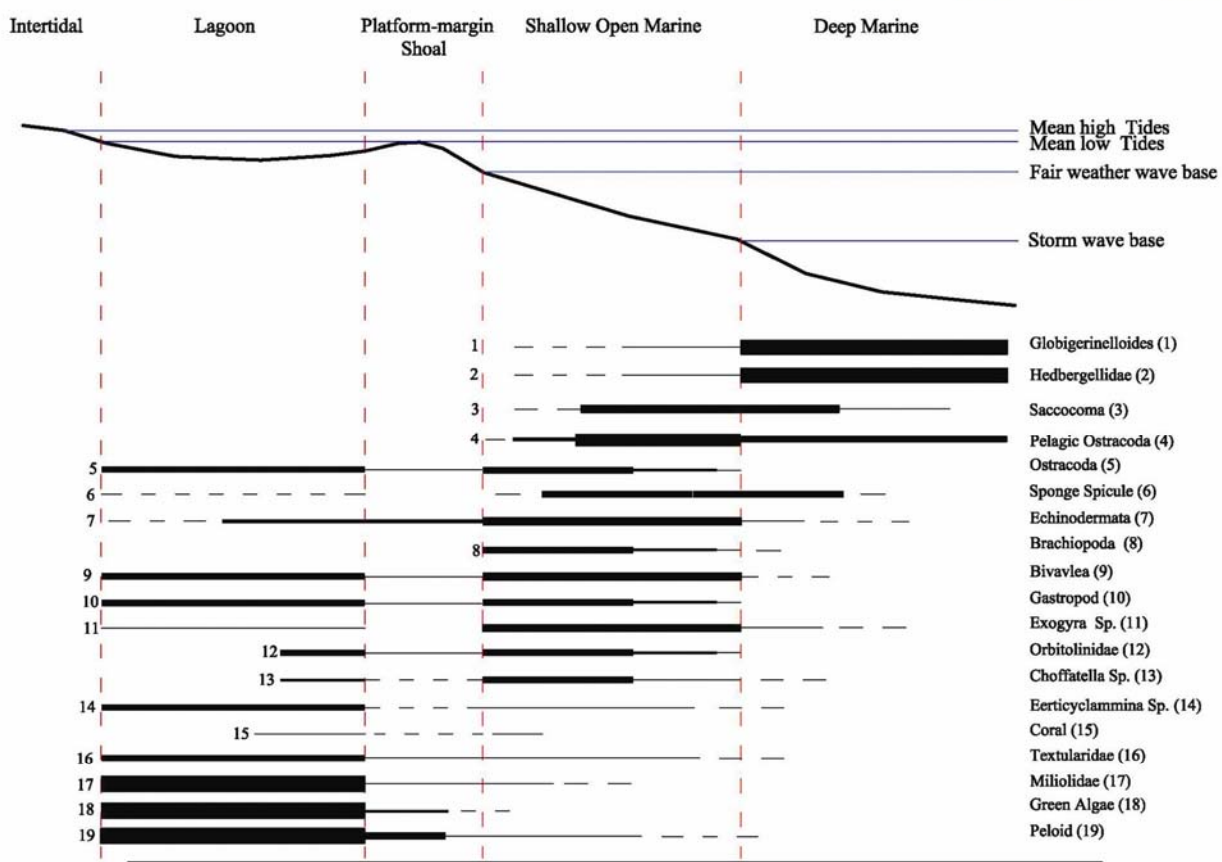
بررسی‌های انجام شده در منطقه مورد مطالعه نشان می‌دهد که پس از یک وقفه رسوبی کم اهمیت در مرز بین سازندهای فهیان و گدوان، دریا پیشروی نموده و بخش زیرین سازند گدوان رسوب‌گذاری کرده است. در این بخش تناوب رخساره‌های بتیک و پلازیک مربوط به نواحی ژرف و کم‌ژرفای دریای باز مشاهده می‌شود. رسوب‌گذاری بخش خلیج نشانه کم‌عمق شدگی نسبی آب دریا است. پس از نهشته‌شدن این بخش و با شروع رسوب‌گذاری گدوان بالایی، دریا دوباره پیشروی کرده و رخساره‌های بتیک و پلازیک مربوط به نواحی کم‌ژرفای و ژرف دریای باز رسوب‌گذاری می‌کنند. این نهشته‌ها به سمت بالا کم‌عمق شده و به نهشته‌های بخش داریان زیرین تبدیل می‌شوند. مطالعات انجام شده نشان می‌دهد که رسوبات سازند گدوان در یک پلتفرم کربناته از نوع شلف نهشته شده‌اند (شکل ۶). رخساره‌های شناسایی شده در بخش‌های گدوان زیرین و بالایی نشان دهنده افزایش جهانی سطح آب دریاها است. بالا آمدن پلت‌فرم عربی هم‌خوانی دارد (شکل ۷).



شکل ۶: مدل رسوبی پیشنهادی با تفکیک کمرندهای رخدارهای برای سازند گدوان در برش چینه‌شناسی کوزه‌کوه.



شکل ۷- منحنی تغییرات سطح آب دریا در مقیاس جهانی و مقایسه آن با منحنی ارائه شده برای پلت فرم عربی و ارتباط و هم خوانی آن با تغییرات رسوب‌گذاری در شرق گسل کازرون



شکل ۸: بازسازی محیط رسوبی و نحوه توزیع عناصر اسکلتی و غیراسکلتی نهشته‌های سازند گدوان در برش چینه‌شناسی کوزه‌کوه.

۴- نتیجه‌گیری:

سازند گدوان، در تاقدیس کوزه‌کوه دارای سه بخش: گدوان زیرین، خلیج و گدوان بالایی تقسیم می‌شود. بررسی رخساره‌های سازند گدوان نشان می‌دهد که این رسوبات در دو کمربند رخساره‌ای تالاب و دریای باز (دریای باز کم ژرف و دریای باز ژرف) رسوب‌گذاری کرده است. در برش مورد بررسی رخساره سد مشاهده نشده است. نبود شواهد رخساره‌های مربوط به پشته‌های زیردریایی در روی زمین و همچنین مطالعات میکرو‌سکوپی می‌تواند ناشی از محدود بودن و یا عدم گسترش جانبی سد/پشته‌های زیردریایی در ناحیه مورد مطالعه باشد.

رخساره‌های موجود در سنگ آهک‌های توده‌ای بخش خلیج نشان دهنده محیط‌های تالاب و دریای باز کم ژرف است. بخش‌های شیلی-مارنی گدوان زیرین و بالایی در کمربند رخساره‌ای دریای باز نهشته شده است و شامل رخساره‌های دارای فسیل‌های بتیک مربوط به نواحی کم ژرفای دریای باز و سنگ آهک‌های دارای فرامینیفرهای پلانکتونی و نهشته‌های آپین‌پیشین هم خوانی دارد.

تمثیل رفکاره‌ها و محیط‌رسوبی سازند گداون...

- Middleton, C.U., 1973.** Johannes Walther's Law of the Correlation of Facies, Geol., Soc. Am. Bull., Vol. 84, No. 3, P. 979-988.
- Sarg, J.F., 2001.** The Sequence Stratigraphy, Sedimentology, and economic important of evaporate-carbonate transitions: a review. *Sedimentary Geology*, 140: 9-42.
- Setudehnia, A., 1978.** Mesozoic sequence in southwest Iran and adjacent areas. *Jour. Petro. Geol. I, PP. 3-43.*
- Tucker, M.E., Wright, V. P., 1990.** Carbonate sedimentology. *Blackwell, Oxford, 482P.*
- Wells, A.J., 1965.** Lithofacies and geological history of Khami Group sediments in SW Iran. *IOSC (NIOC) Report No. 1068.*
- 7- منابع:**
احمدی، ز.، ۱۳۸۶، رخساره‌ها، محیط‌های رسوبی و چینه‌نگاری سکانسی سازنده‌ای گداون و داریان در بخش شمالی فروافتادگی دزفول (چاه ماماتین ۱۰) و زون ایذه (تاقدیس اشگر)، پایان‌نامه کارشناسی ارشد، دانشگاه تربیت معلم تهران، ۹۱ صفحه.
پیری‌ایی، ع.، فیضی، ا.، جمالی، ا.م.، ۱۳۸۳، چینه‌نگاری سکانسی نهشته‌های خامی بالای (کرتاسه زبرین) در قسمتی از ناحیه دزفول جنوبی و جنوب‌شرق زون ایذه. شرکت ملی نفت ایران، گزارش زمین‌شناسی شماره GR-2047
سیاهی، م.، ۱۳۸۵، رخساره‌ها، محیط‌های رسوبی و چینه‌نگاری سکانسی سازنده‌ای گداون و داریان در بخش جنوبی فروافتادگی دزفول و زون ایذه، پایان‌نامه کارشناسی ارشد، دانشگاه تربیت معلم تهران، ۷۷ صفحه.
- References:**
- Baudin, F., Fiet, N., Coccioni, R., Galeotti, S., 1998.** Organic matter characterization of the Sellì Level (Umbria-Marche Basin, central Italy). *Cretaceous Research* 19, 701-714
- Carozzi, A.V., 1989.** Carbonate rocks depositional model. *Prentice Hall, New Jersey, 604P.*
- Dunham, R.J., 1962.** Classification of carbonate rocks according to depositional texture. *A.A.P.G Memoir I, PP. 108-121.*
- Emery, D., Myers, K.J., 1996.** Sequence Stratigraphy. *Blackwell scientific, Oxford, 297 p.*
- Flügel , E. (2004).** Microfacies of carbonate Rocks. Analysis Interpretation and Application springer. *Verlag Berlin, Heidelberg, Germany.*
- Haq, B.U., Hardenbol, J., Vail, P.R., 1988.** Mesozoic and Cenozoic chronostratigraphy and cycle of sea level change. In: C.K. Wilgus, B.S. Hastings, E. Posamentier, J. Van Wagoner, C.A. Ross and C.G. Kendall (eds.), Sea level Changes: An integrated Approach. Soc. Econ. Palentol. Mineral. Spec. Publ., 2: pp 71-108.
- James, G.A., Wynd, J.C., 1965.** Stratigraphic nomenclature of Iranian Oil Consortium Agreement Area. *AAPG Bull. 49, No. 12, p. 2182-2245.*
- Kheradpir, A., 1975.** Stratigraphy of Khami group in Southwest Iran. *O. S. C. I. Report, No. 1235.*
- Lasemi, Y., Carozzi, A. V., 1981.** Carbonate microfacies and depositional environments of the Kinkaid Formation (Upper Mississippian) of the Illinois Basin, USA, V. III congreso Geol. Argentino, San Luis, *Actas II, PP. 357-384.*